

Бенуа Мандельброт



1975 год

"Фракталом называется структура, состоящая из частей, которые в каком-то смысле подобны целому"

для обозначения нерегулярных, но самоподобных структур

fractus в переводе означает состоящий из фрагментов

Фрактальная геометрия

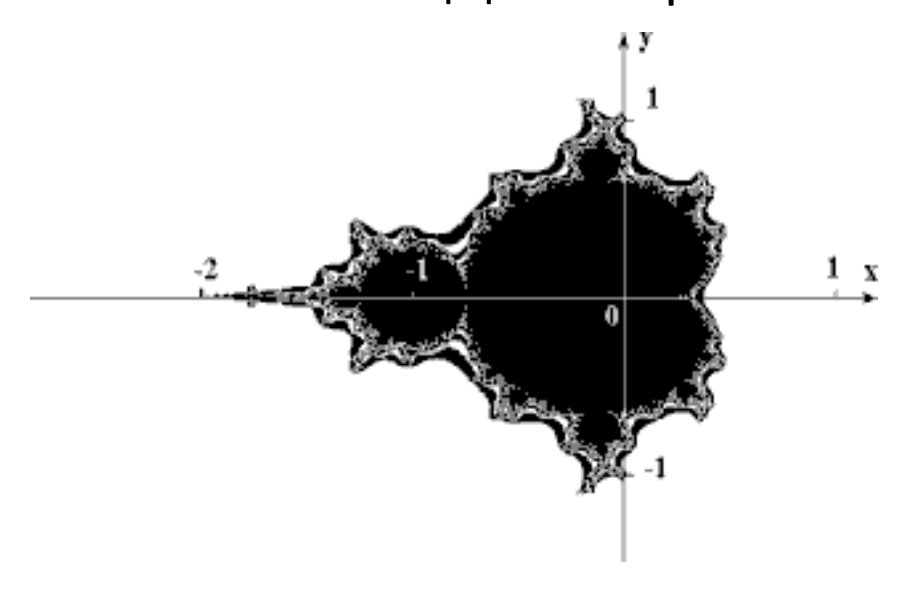
1977 год – книга Мандельброта

The Fractal Geometry of Nature

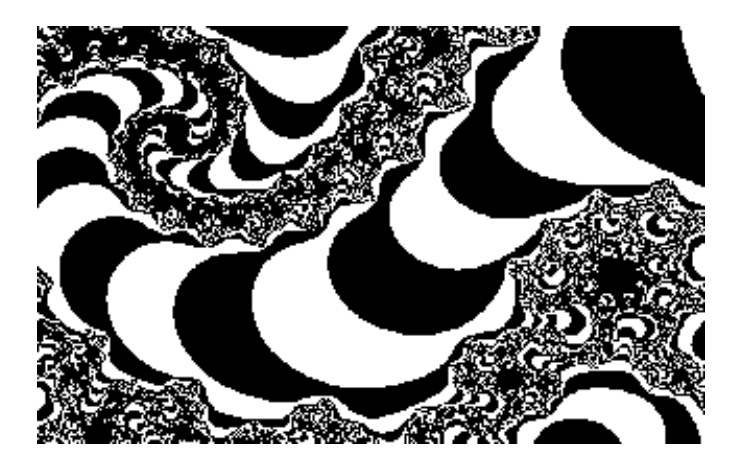
1875-1925 г г. – Пуанкаре, Фату, Жюлиа, Кантор, Хаусдорф

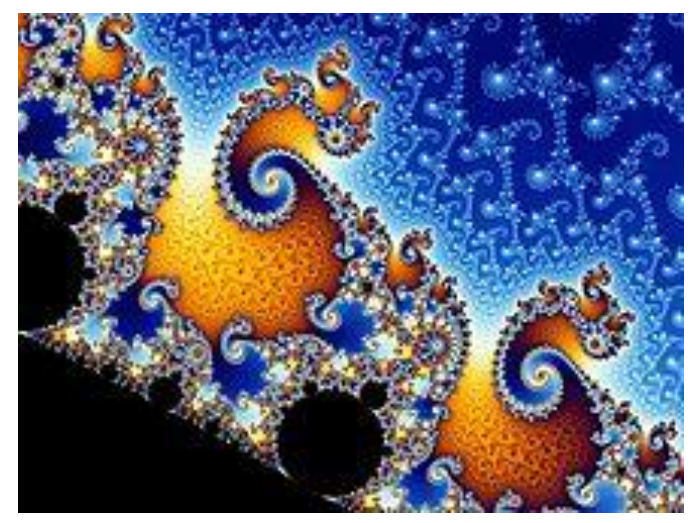
Впервые множество Мандельброта было описано в <u>1905 году</u> <u>Пьером Фату</u> (Pierre Fatou), французским математиком,

Множество Мандельброта



Z[i+1]=Z[i]*Z[i]+C



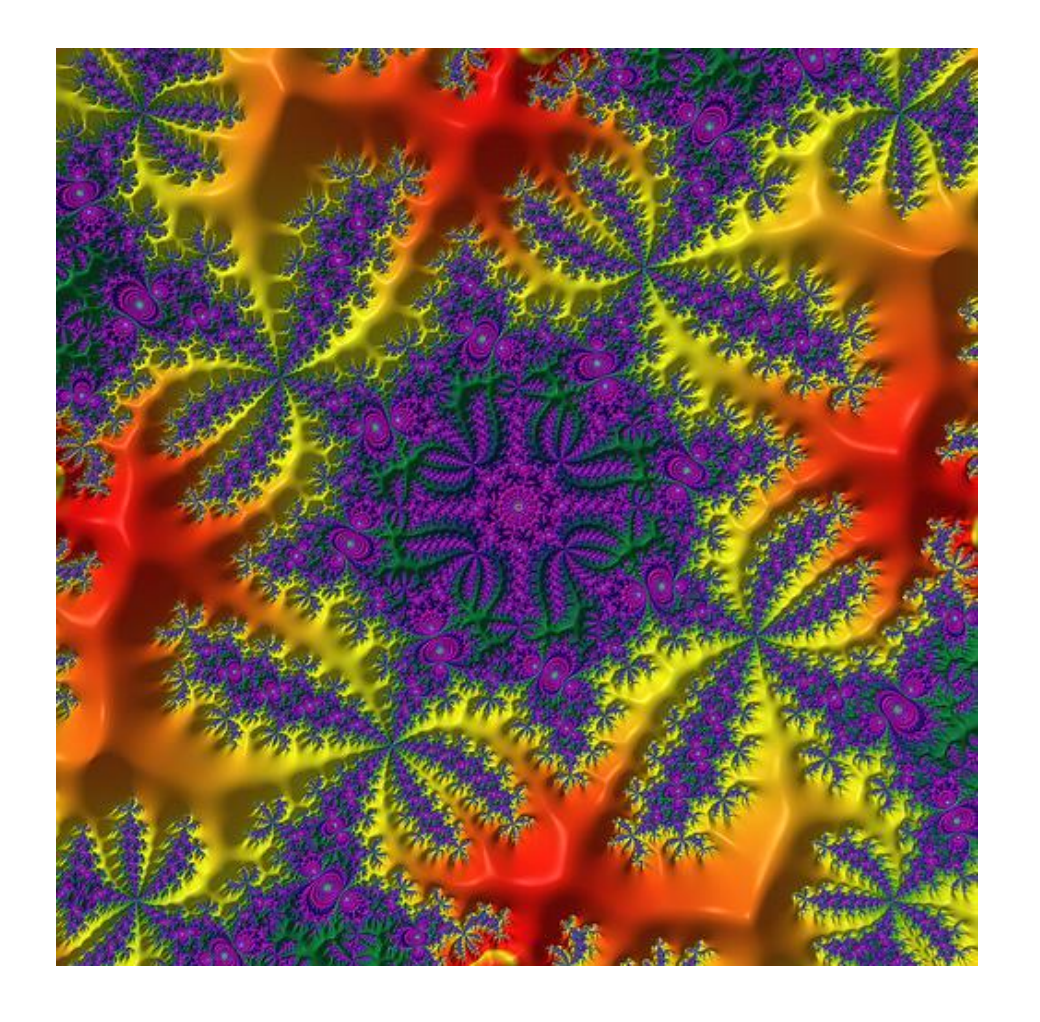


Классификация фракталов

- Геометрические фракталы
- Алгебраические фракталы
- Стохастические фракталы

Примеры фракталов

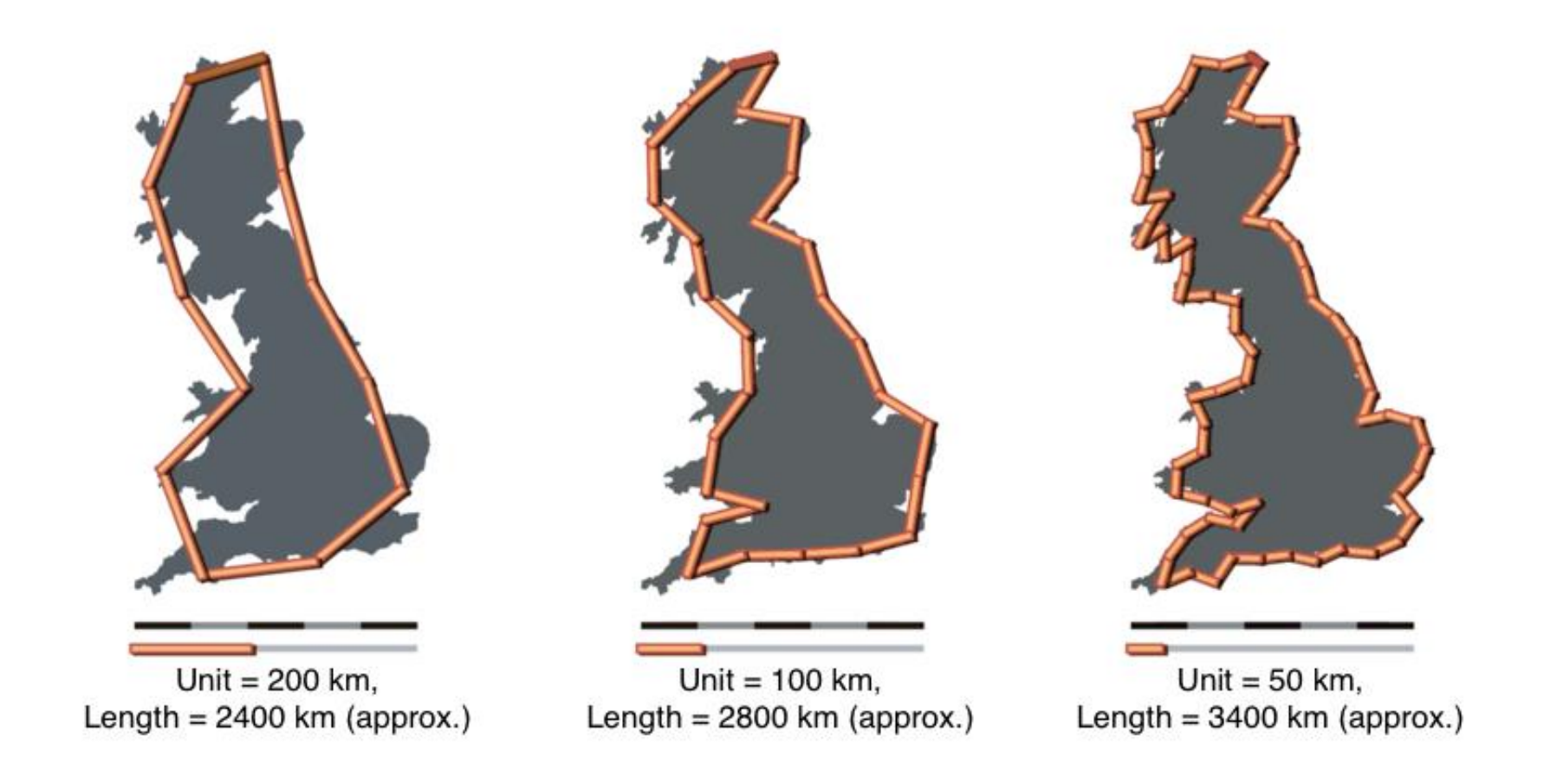




Береговая линия



Построение береговой линии



Болота



Горная система



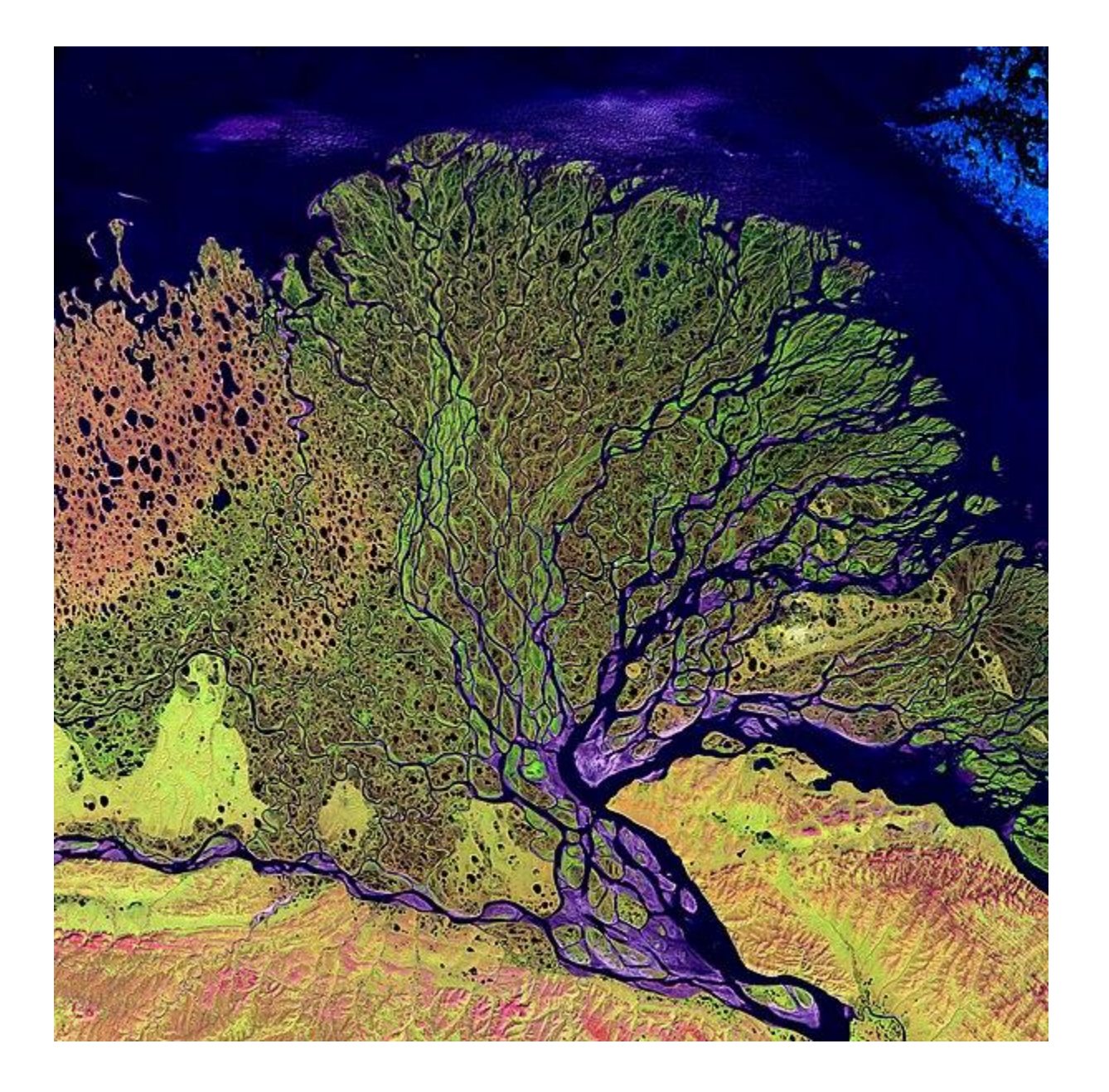


Капуста





Дельта реки Лена



3D-пейзаж



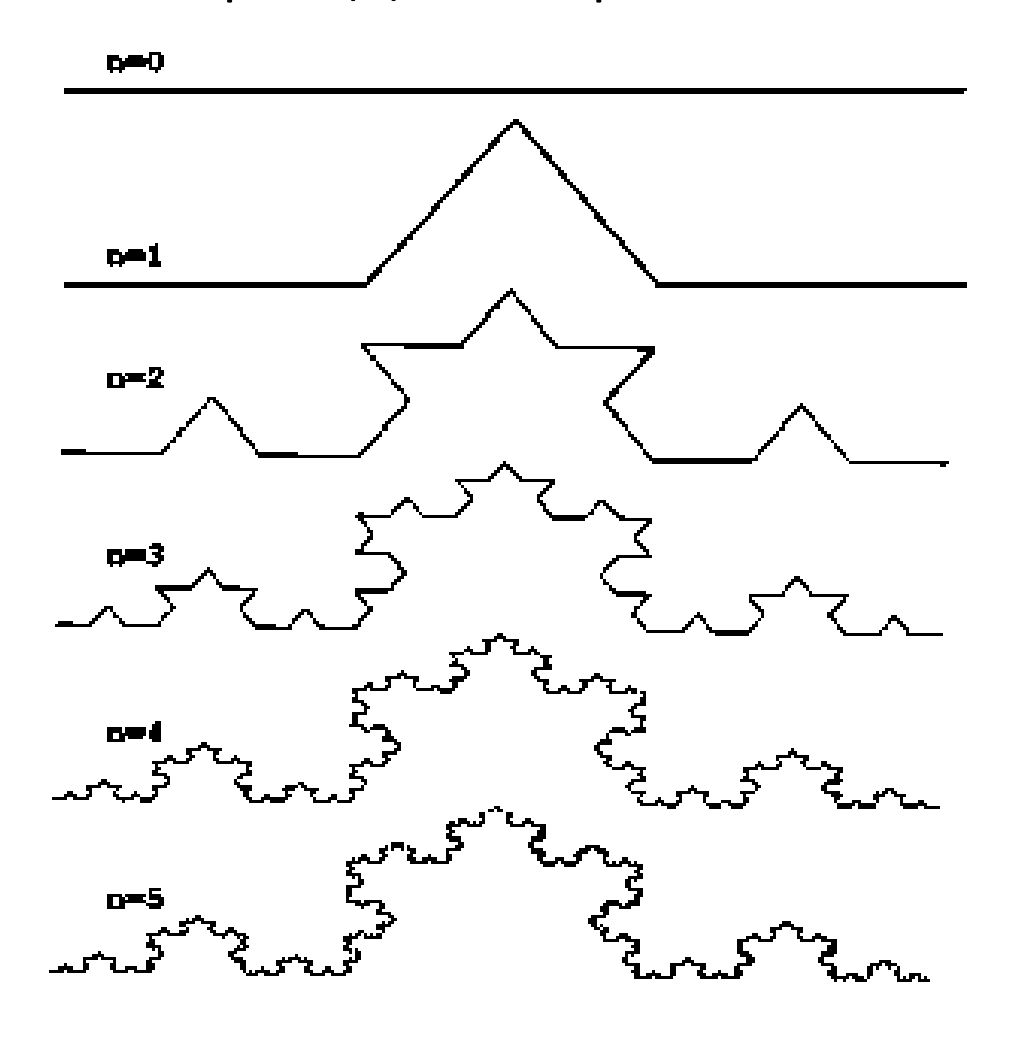
3D-пейзаж



3D-пейзаж



Построение триадной кривой Коха



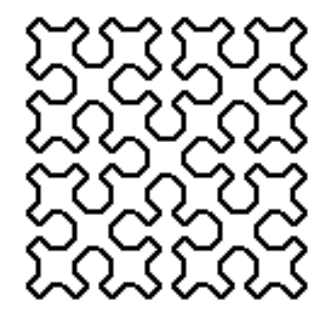
Ковер Серпинского



S₁ – «Ковер Серпинского» первого порядка

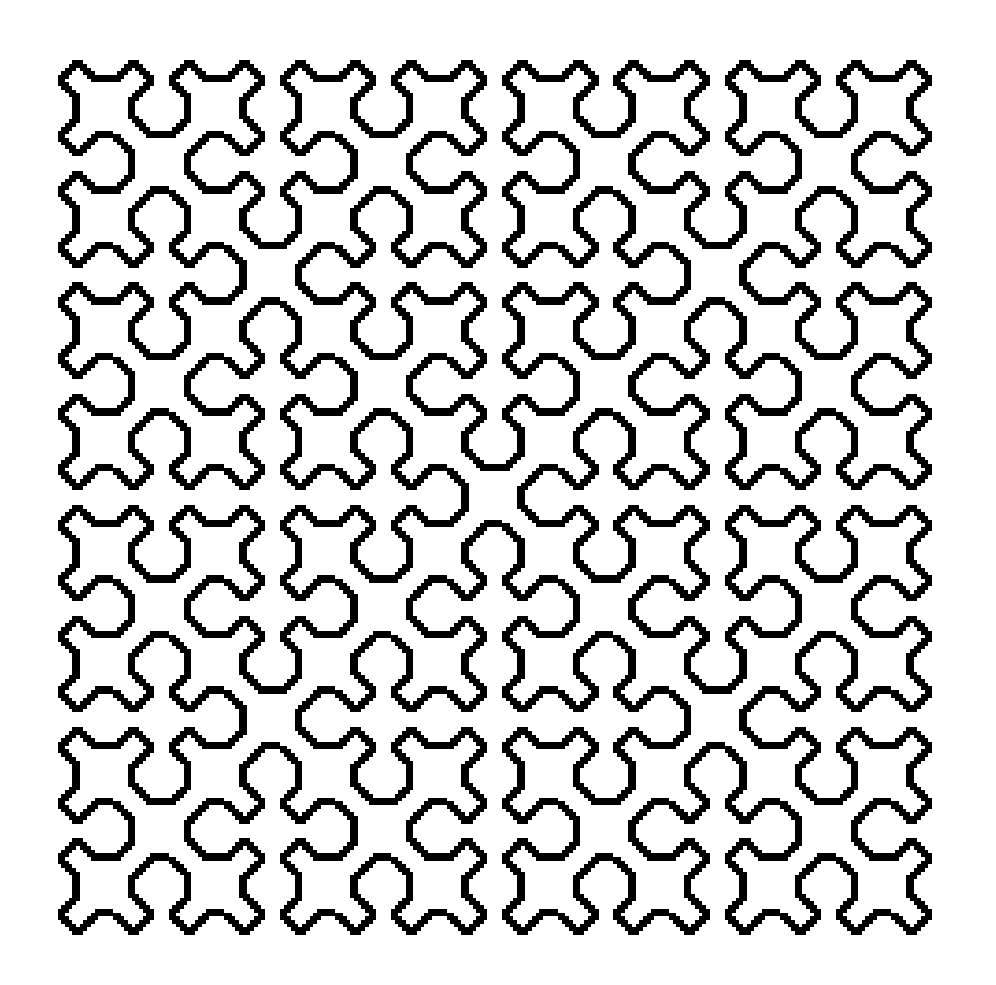


S₂ – «Ковер Серпинского» второго порядка

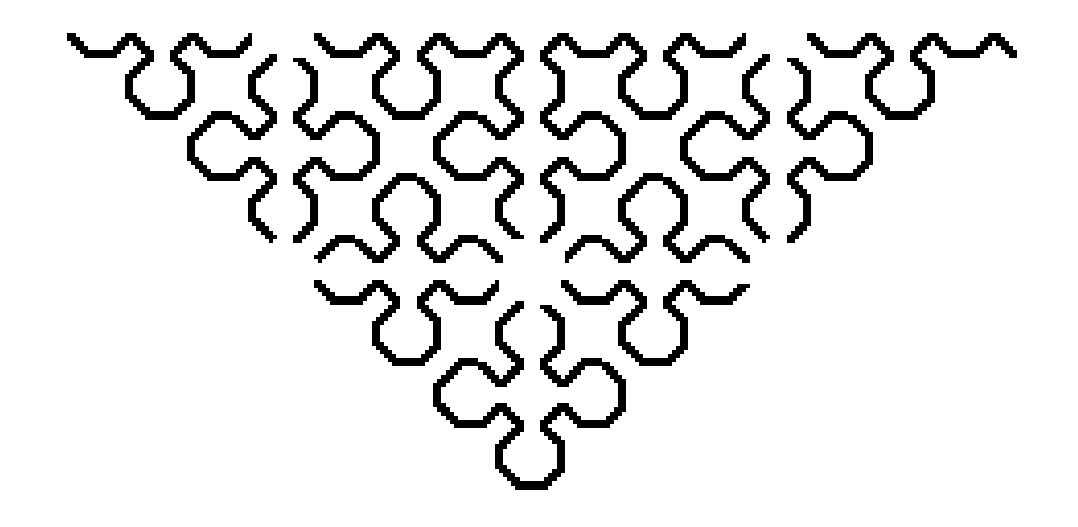


S₃ – «Ковер Серпинского» третьего порядка

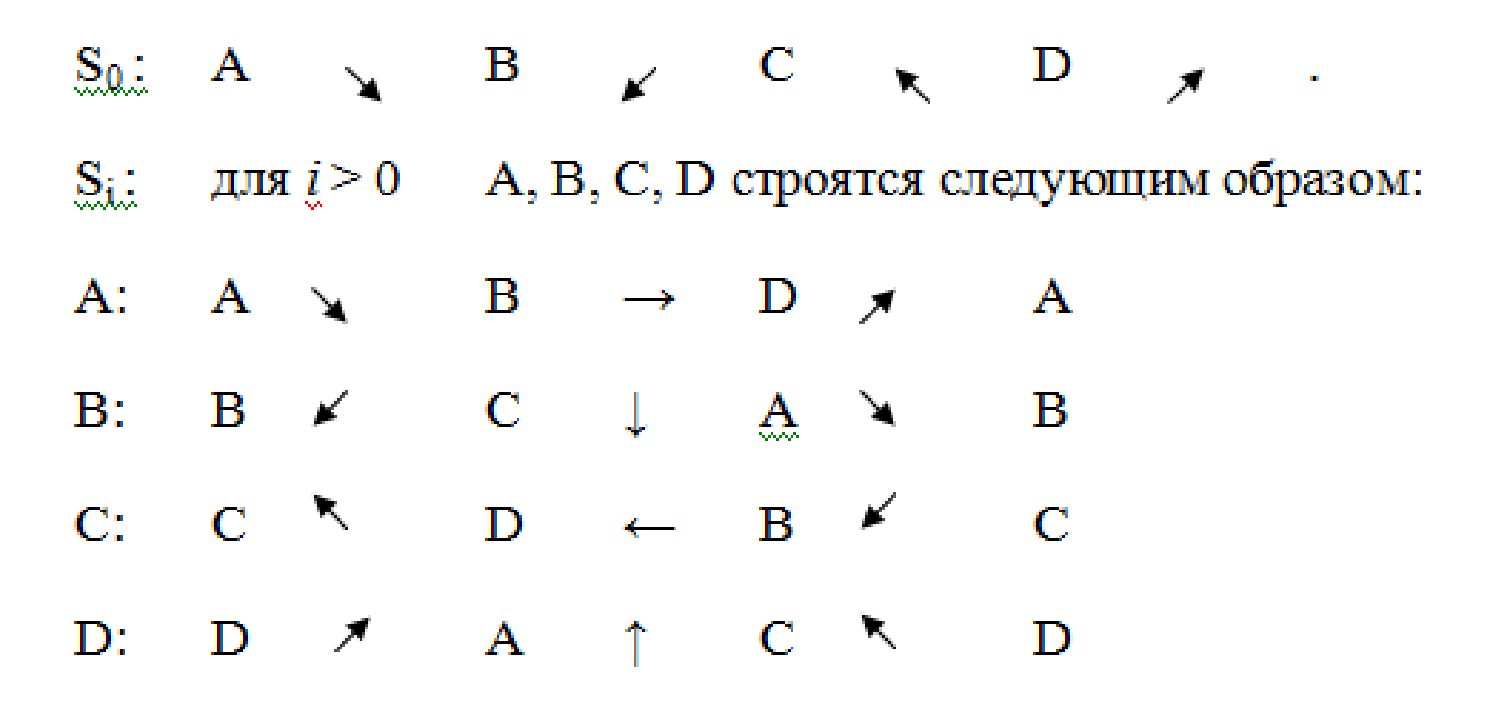
S4 – «Ковер Серпинского» четвертого порядка



Составляющая А четвертого порядка



Рекуррентные соотношения



```
var a, b, x, y, n: integer;
procedure Irel (dx,dy: integer);
begin
x:=x+dx; y:=y+dy;
 LineTo(x,y)
end;
procedure BB(k: integer);
procedure CC(k: integer);
procedure DD(k: integer);
```

```
procedure BB(k: integer);
procedure AA(k: integer);
begin
                                                      begin
if k>0 then
                                                       if k>0 then
 begin
                                                       begin
  AA(k-1); Irel(a,b);
                                                        BB(k-1); Irel(-a,b);
  BB(k-1); Irel(a,0);
                                                        CC(k-1); Irel(0,b);
  DD(k-1); lrel(a,-b);
                                                        AA(k-1); Irel(a,b);
  AA(k-1)
                                                        BB(k-1)
 end
                                                       end
end;
                                                      end;
```

```
procedure CC(k: integer);
                                                      procedure DD(k: integer);
begin
                                                      begin
                                                       if k>0 then
if k>0 then
 begin
                                                       begin
  CC(k-1); lrel(-a,-b);
                                                        DD(k-1); lrel(a,-b);
  DD(k-1); lrel(-a,0);
                                                        AA(k-1); lrel(0,-b);
  BB(k-1); Irel(-a,b);
                                                        CC(k-1); lrel(-a,-b);
  CC(k-1)
                                                        DD(k-1)
 end
                                                       end
end;
                                                      end;
```

```
begin
                         {порядок кривой}
n:=6;
a:=3; b:=a;
                         {длины сторон}
х:=10; у:=10; {координаты начальной точки}
 SetWindowCaption('Ковер Серпинского');
 SetWindowSize(590,590);
 MoveTo(x,y);
AA(N); Irel(a,b);
 BB(N); Irel(-a,b);
CC(N); Irel(-a,-b);
 DD(N); Irel(a,-b)
end.
```

Системы построения фрактальных изображений

• Iterated function systems (IFS) — Системы итерируемых функций, итерированных функций, повторяющихся функций

• L-системы

Метод IFS

середина 80-х годов

Наиболее простая версия IFS состоит из аффинных преобразований плоскости:

$$X1=A*X+B*Y+C$$

Также для построения IFS применяют

проективные:

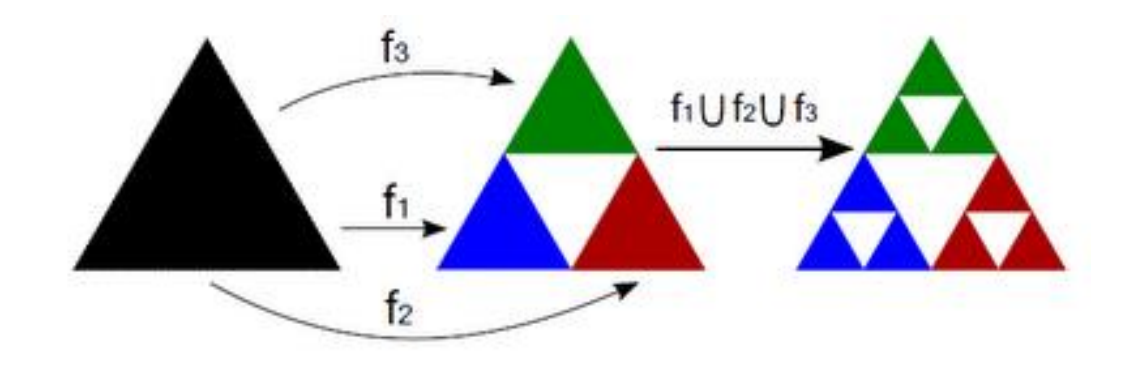
$$X1=(A1*X+B1*Y+C1)/(D1*X+E1*Y+F1)$$

$$Y1=(A2*X+B2*Y+C2)/(D2*X+E2*Y+F2)$$

или квадратичные:

преобразования на плоскости.

Пример построения треугольника Серпинского с помощью IFS



$$f_{1}(\begin{bmatrix} x_{1} \\ x_{2} \end{bmatrix}) = \begin{bmatrix} 1/2 & 0 \\ 0 & 1/2 \end{bmatrix} \begin{bmatrix} x_{1} \\ x_{2} \end{bmatrix} + \begin{bmatrix} 0 \\ 0 \end{bmatrix}$$

$$f_{2}(\begin{bmatrix} x_{1} \\ x_{2} \end{bmatrix}) = \begin{bmatrix} 1/2 & 0 \\ 0 & 1/2 \end{bmatrix} \begin{bmatrix} x_{1} \\ x_{2} \end{bmatrix} + \begin{bmatrix} 1/2 \\ 0 \end{bmatrix}$$

$$f_{3}(\begin{bmatrix} x_{1} \\ x_{2} \end{bmatrix}) = \begin{bmatrix} 1/2 & 0 \\ 0 & 1/2 \end{bmatrix} \begin{bmatrix} x_{1} \\ x_{2} \end{bmatrix} + \begin{bmatrix} 1/4 \\ \sqrt{3}/4 \end{bmatrix}$$

L-системы (Lindenmayer System)

В 1968г. Венгерский биолог и ботаник Аристид Линденмайер



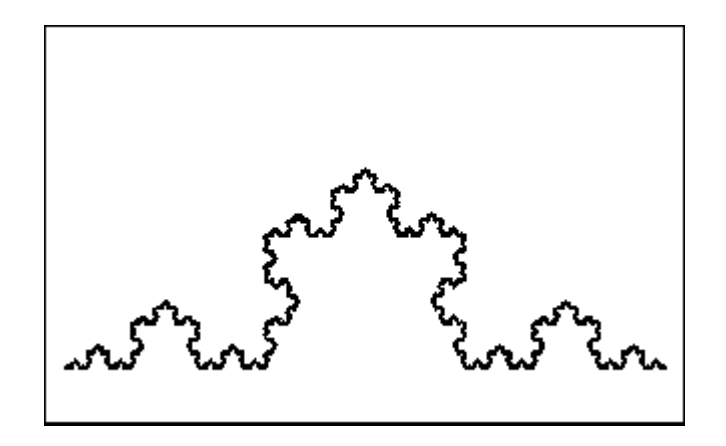
Простейшие L-системы
Растения и ветвящиеся структуры
Стохастические L-системы
Контекстно-зависимые L-системы
Параметрические L-системы

Детерминированная контекстонезависимая L-система

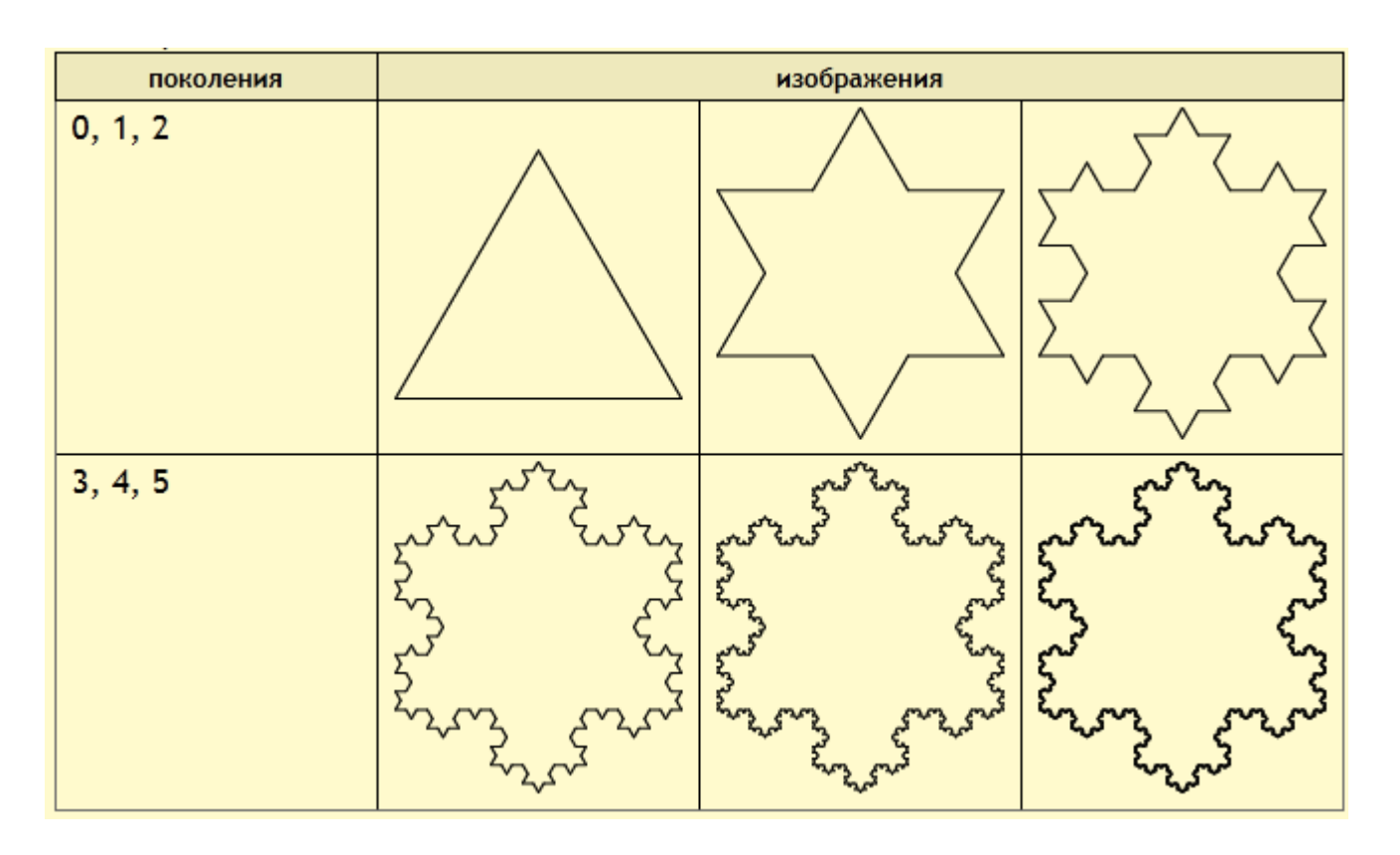
• алфавит, аксиомы и множества правил

КРИВАЯ КОХА

- F
- F→F-F++F-F
- 60°



Поколения снежинки Коха



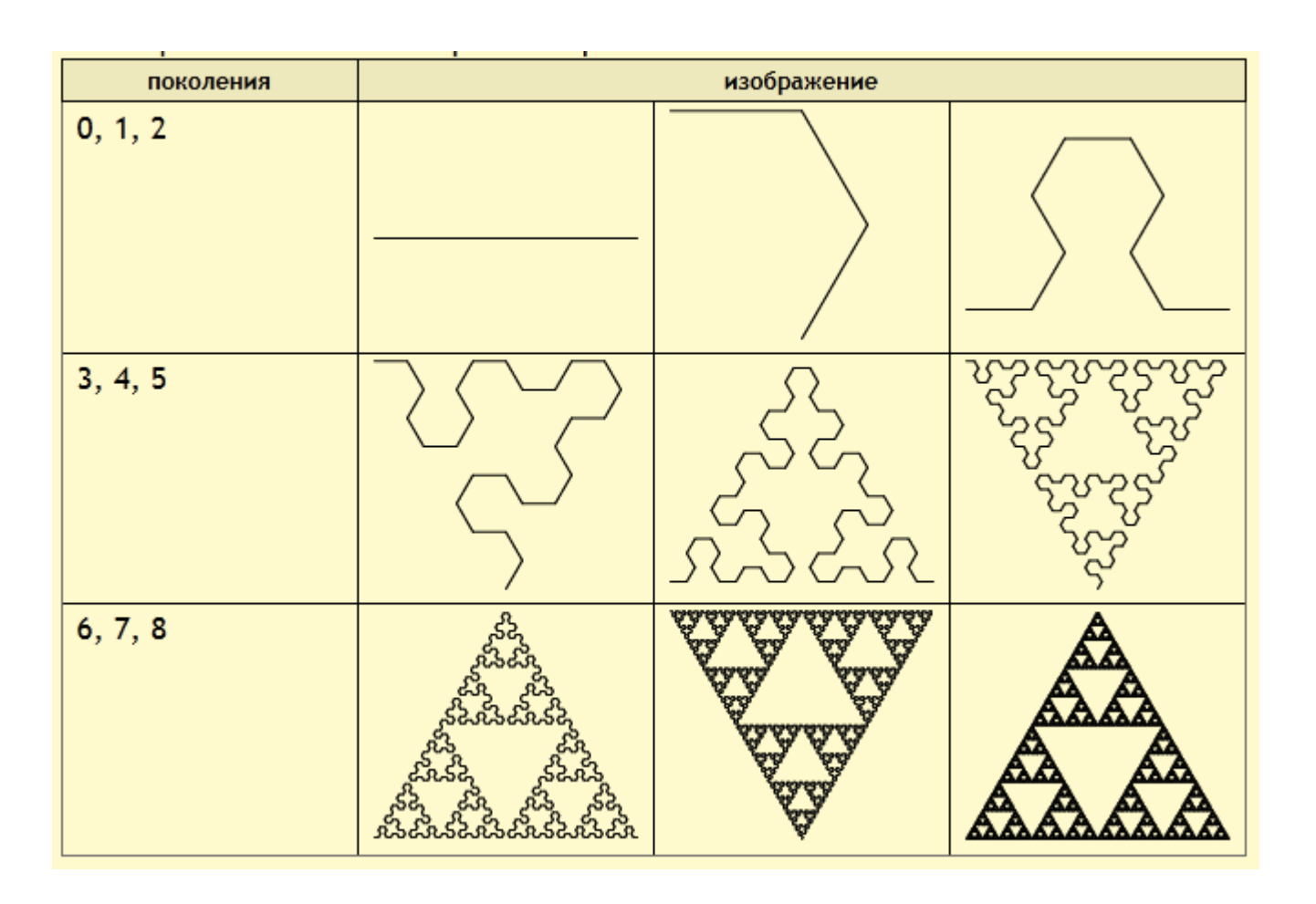
аксиома	правило
「F++F++F」	「F」→「F-F++F-F」

Квадратный остров Коха

- F+F+F+F
- F→F+F-F-FF+F+F-F
- 90º

Ковер Серпинского

- FXF--FF
- $F \rightarrow FF$
- X→--FXF++FXF++FXF--
- 60⁰

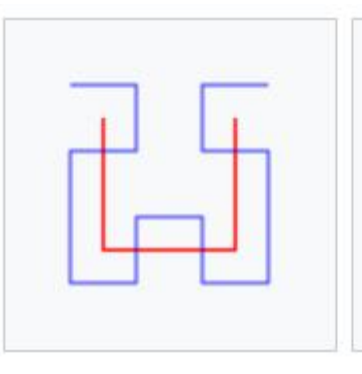


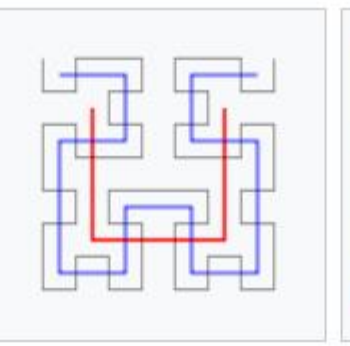
Наконечник Серпинского

- YF
- F→F
- X→YF+XF+Y
- $Y \rightarrow XF YF X$
- 60⁰

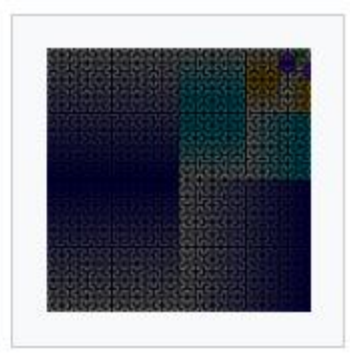
Кривая Гильберта











Кривая Гильберта, первый шаг

Кривые Гильберта, первый и второй шаги

Кривые Гильберта, с первого по третий шаги

Ниточная графика

Кривая Гильберта в цвете



Трёхмерная кривая Гильберта



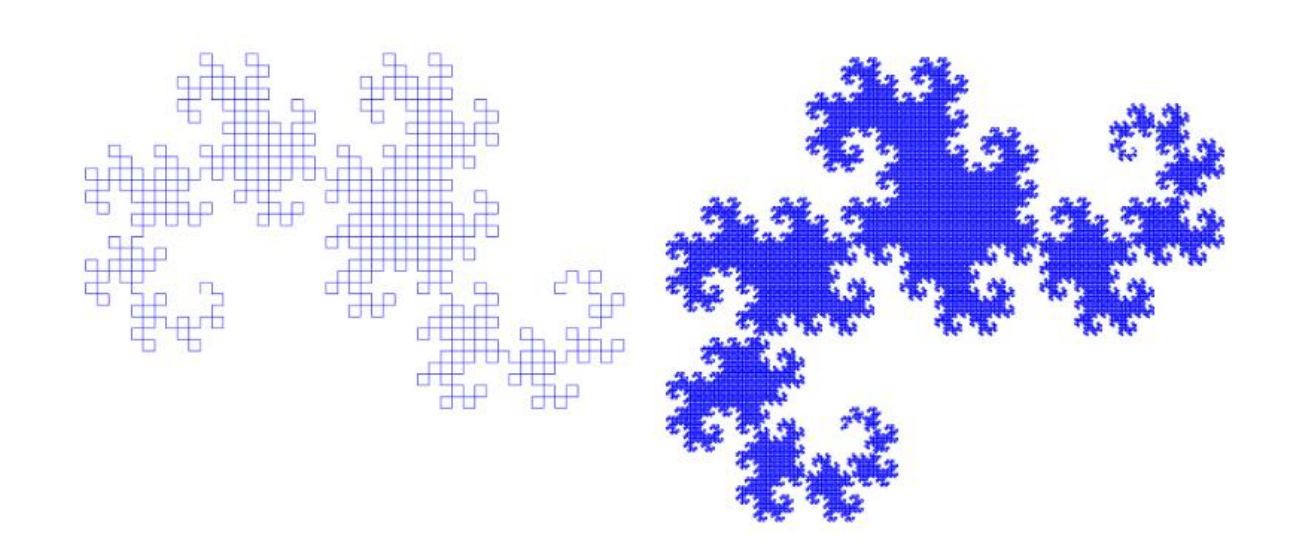
Трёхмерная кривая Гильберта в цвете, указывающем последовательность



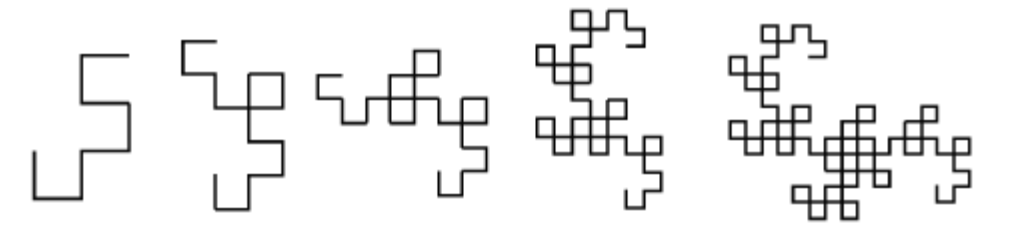
Анимационная иллюстрация, показывающая прохождение кружков по кривой.

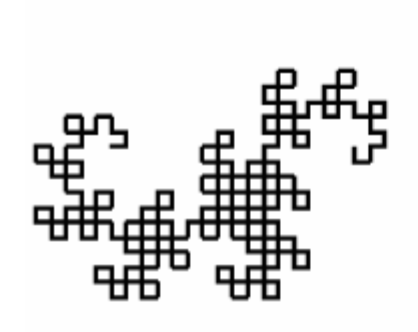
- X
- F→F
- X→-YF+XFX+FY-
- Y→+XF-YFY-FX+
- 90º

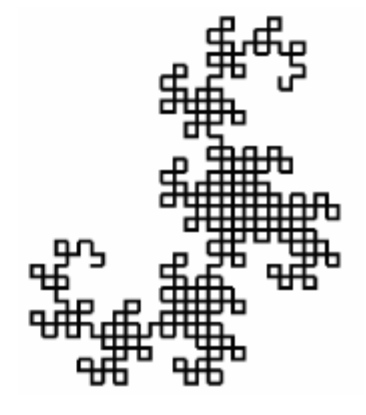
Кривая дракона Хартера-Хейтуэя



- X
- $F \rightarrow F$
- X→X+YF+
- Y→-FX-Y
- 90º

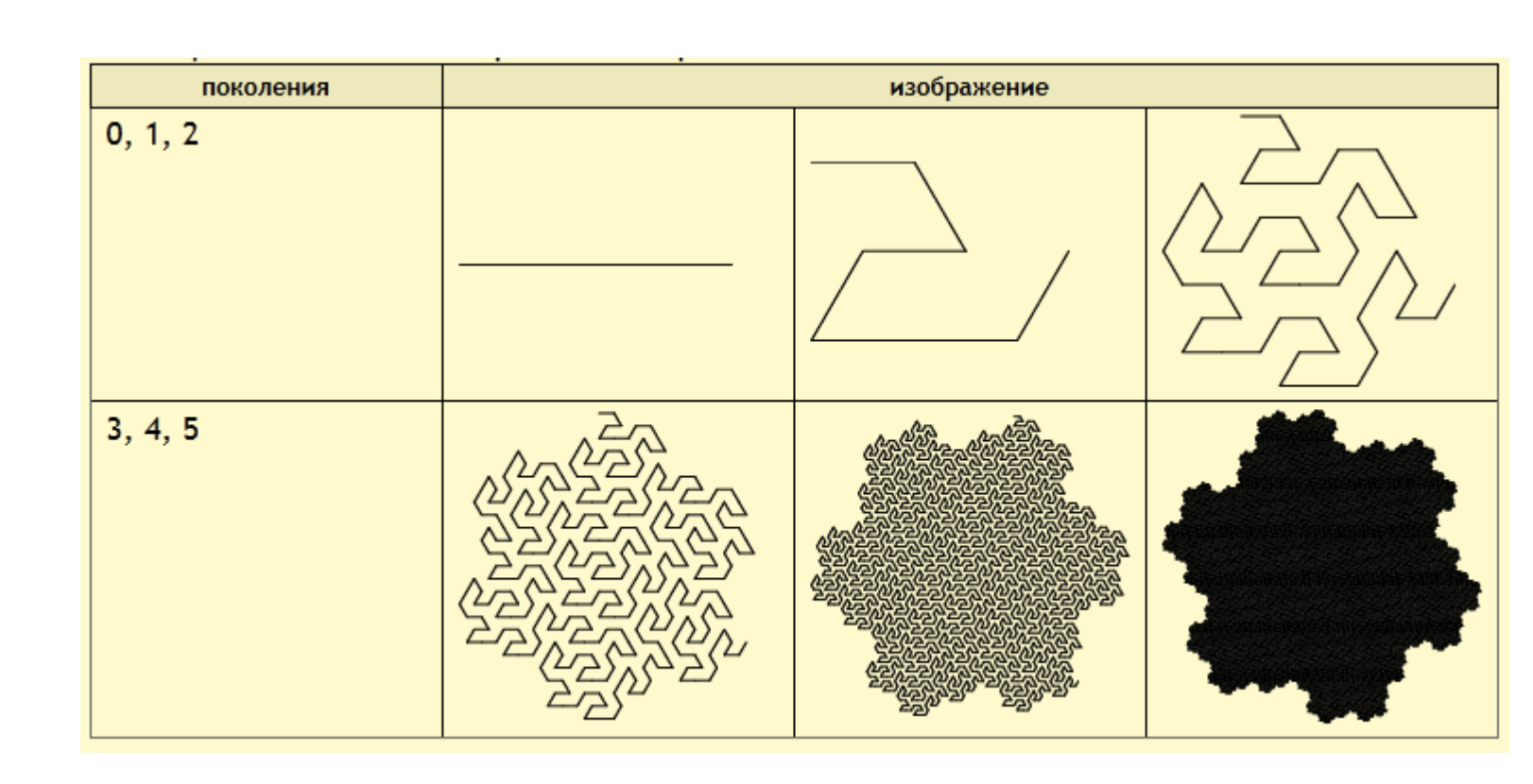




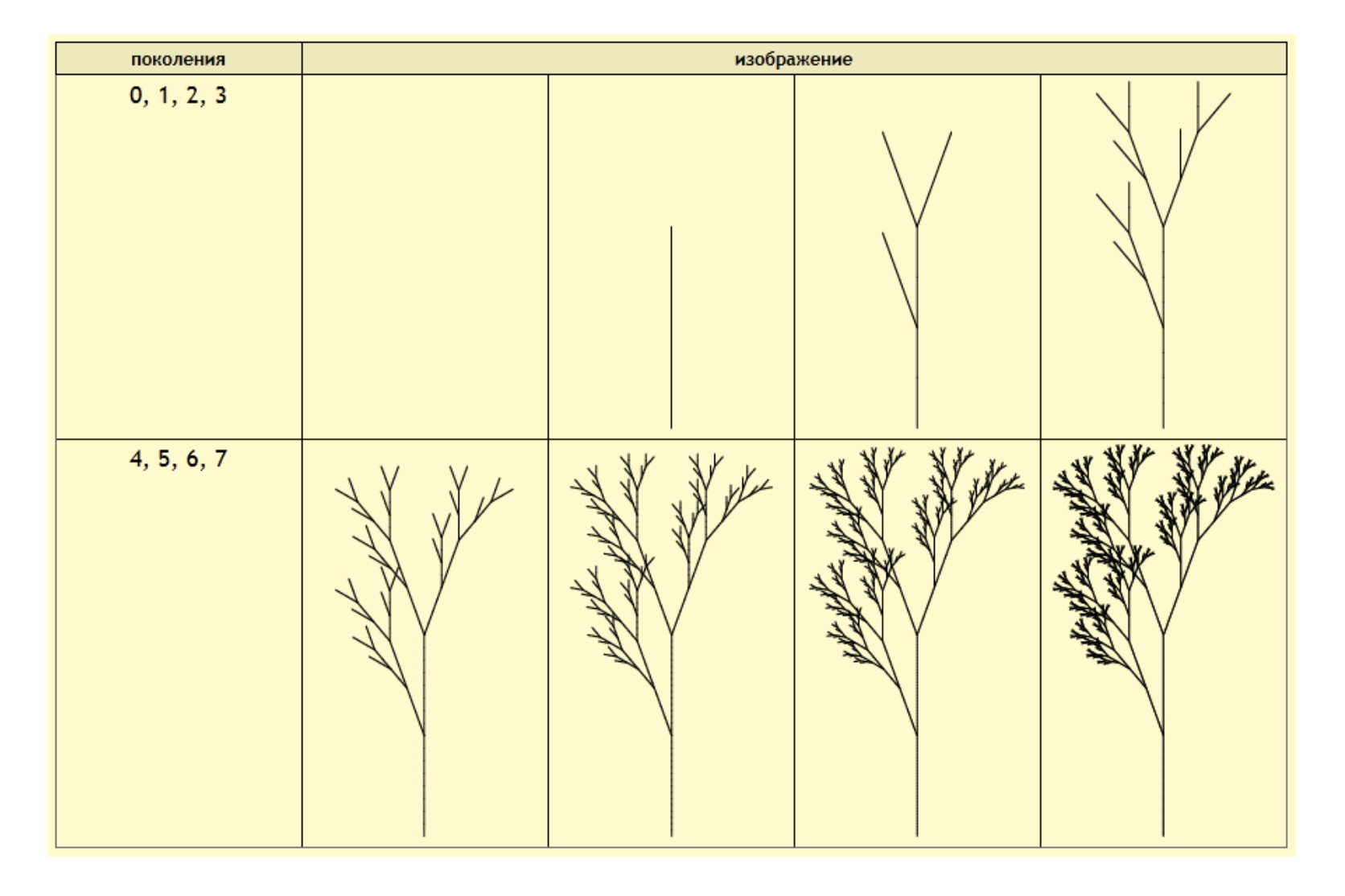


Шестиугольная кривая Госпера

- XF
- F→F
- X→X+YF++YF-FX--FXFX-YF+
- Y→-FX+YFYF++YF+FX--FX-Y
- 60⁰



Скобочные L-системы и деревья



Скобочные L-системы и деревья

аксиома	правила	интерпретация	
LX1	'F _→ 'FF _→	$^{r}F_{J} \rightarrow \langle FORWARD 1 \rangle$	
	$[X] \rightarrow [F[+X]F[-X]+X]$	"+」→ <rotate 20=""></rotate>	
		r - 」 → < ROTATE -20 >	
		「[」→< SAVE >	
		r] $\rightarrow \langle RESTORE \rangle$	

Куст 1

Куст 2

Куст 3

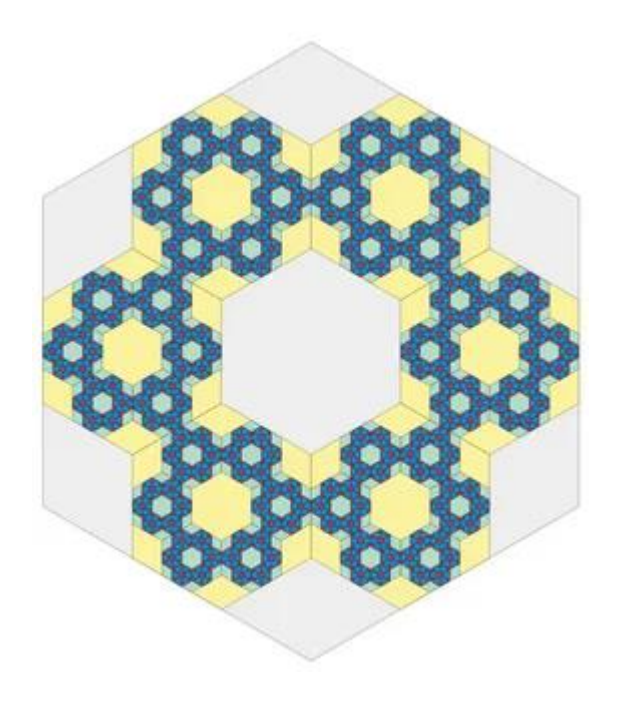
- F
- F→FF-[-F+F+F]+[+F-F-F]
- 22º

- X
- F→FF
- $X \rightarrow F[+X]F[-X]+X$
- 20º

- X
- F→FF
- $X \rightarrow F [[X] + X] + F[+FX] X$
- 22.5°

Шестиугольная мозаика

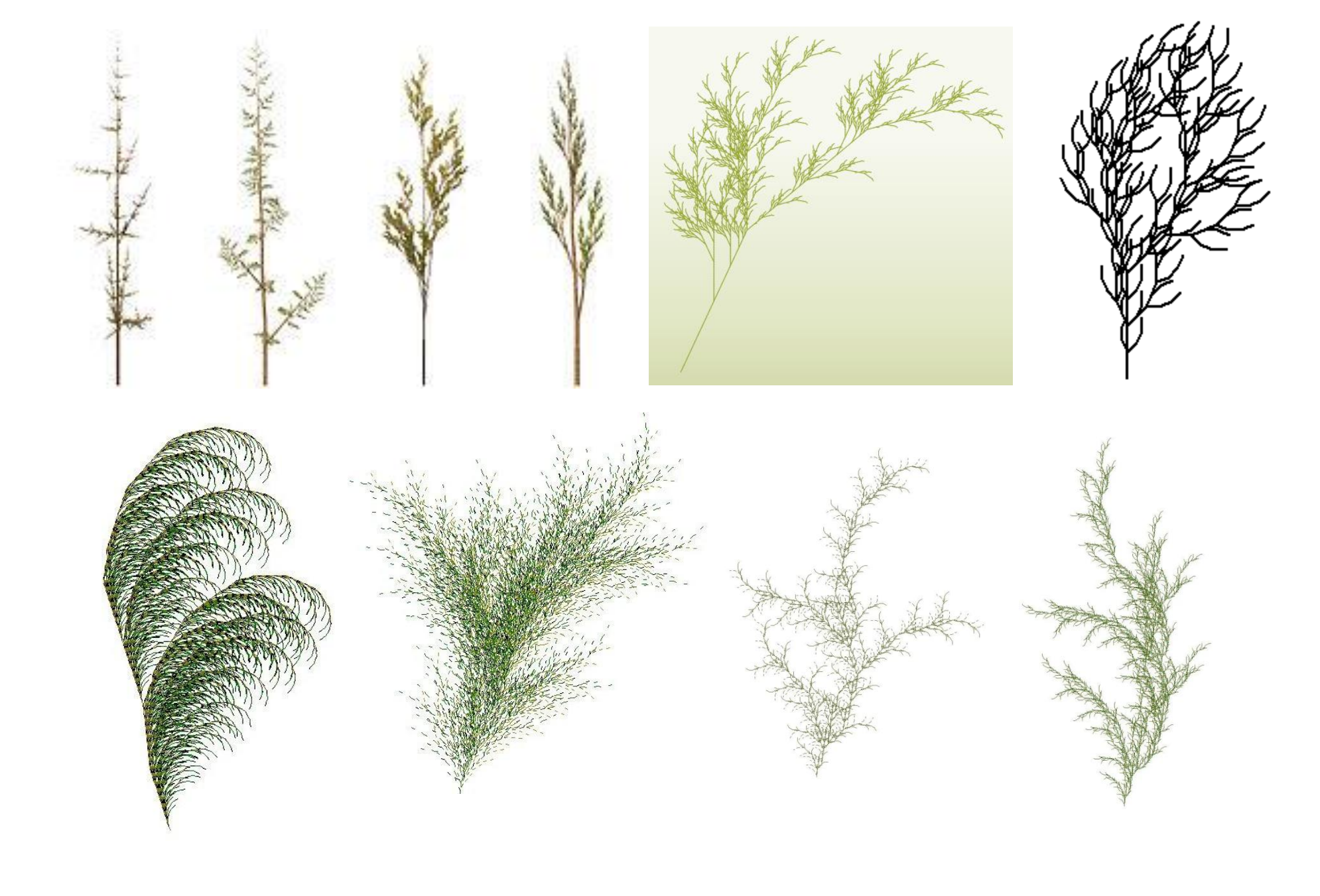
- X
- F→F
- $X \rightarrow [-F+F[Y]+F][+F-F[X]-F]$
- Y→[-F+F[Y]+F][+F-F-F]
- 60⁰

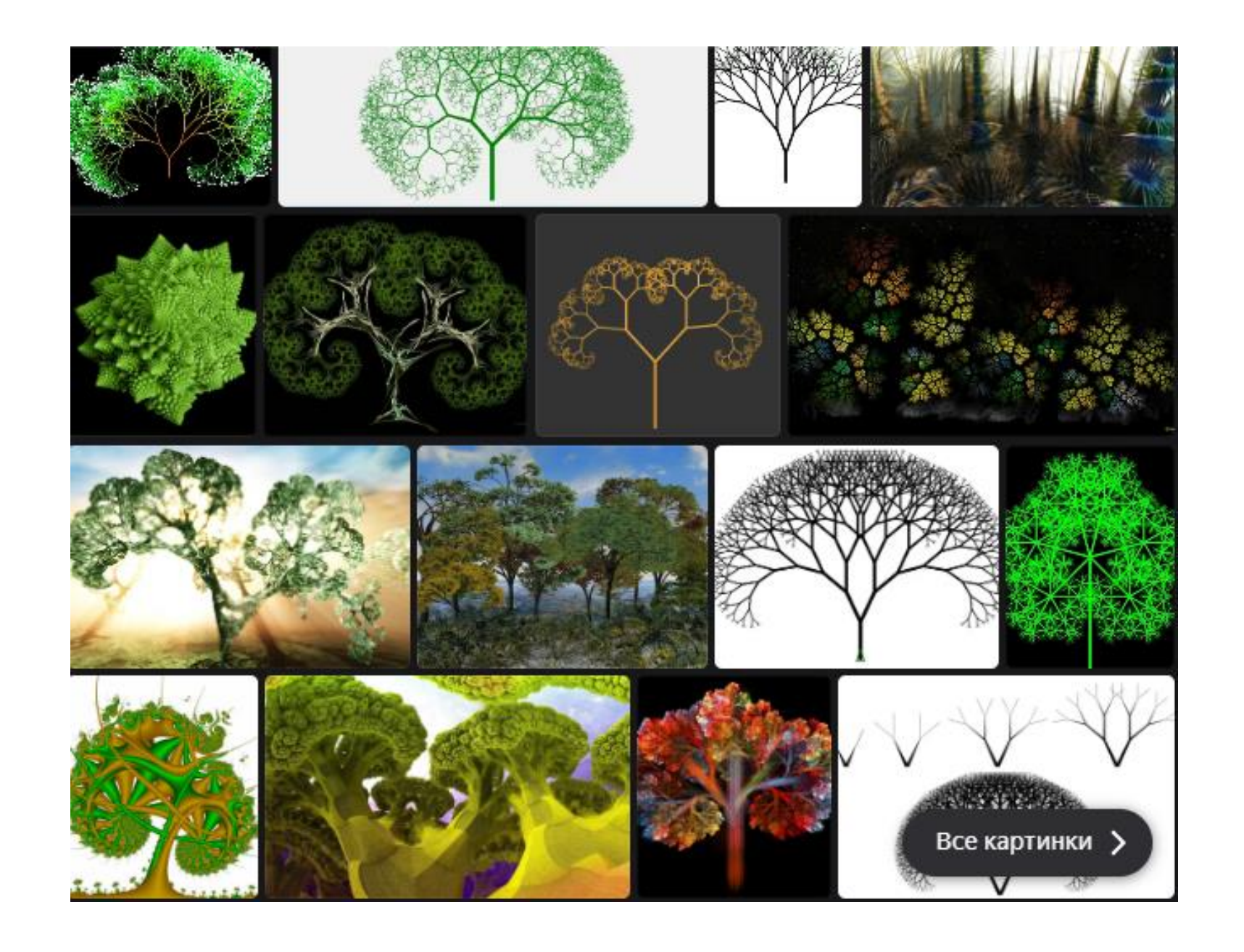


L-системы образуют реальные модели растений

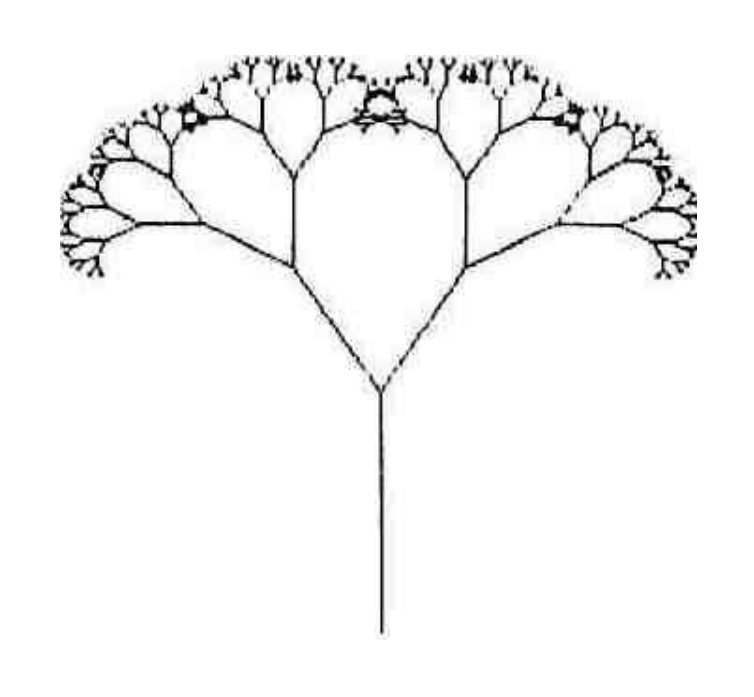


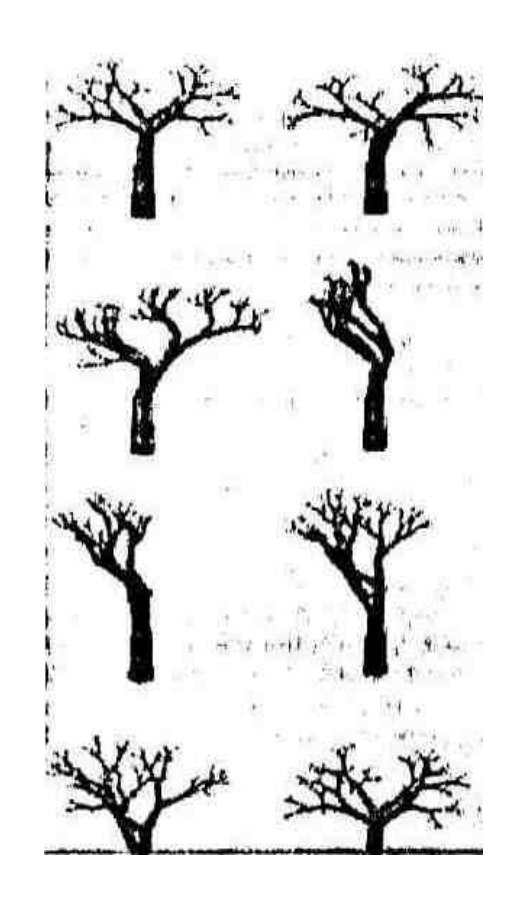






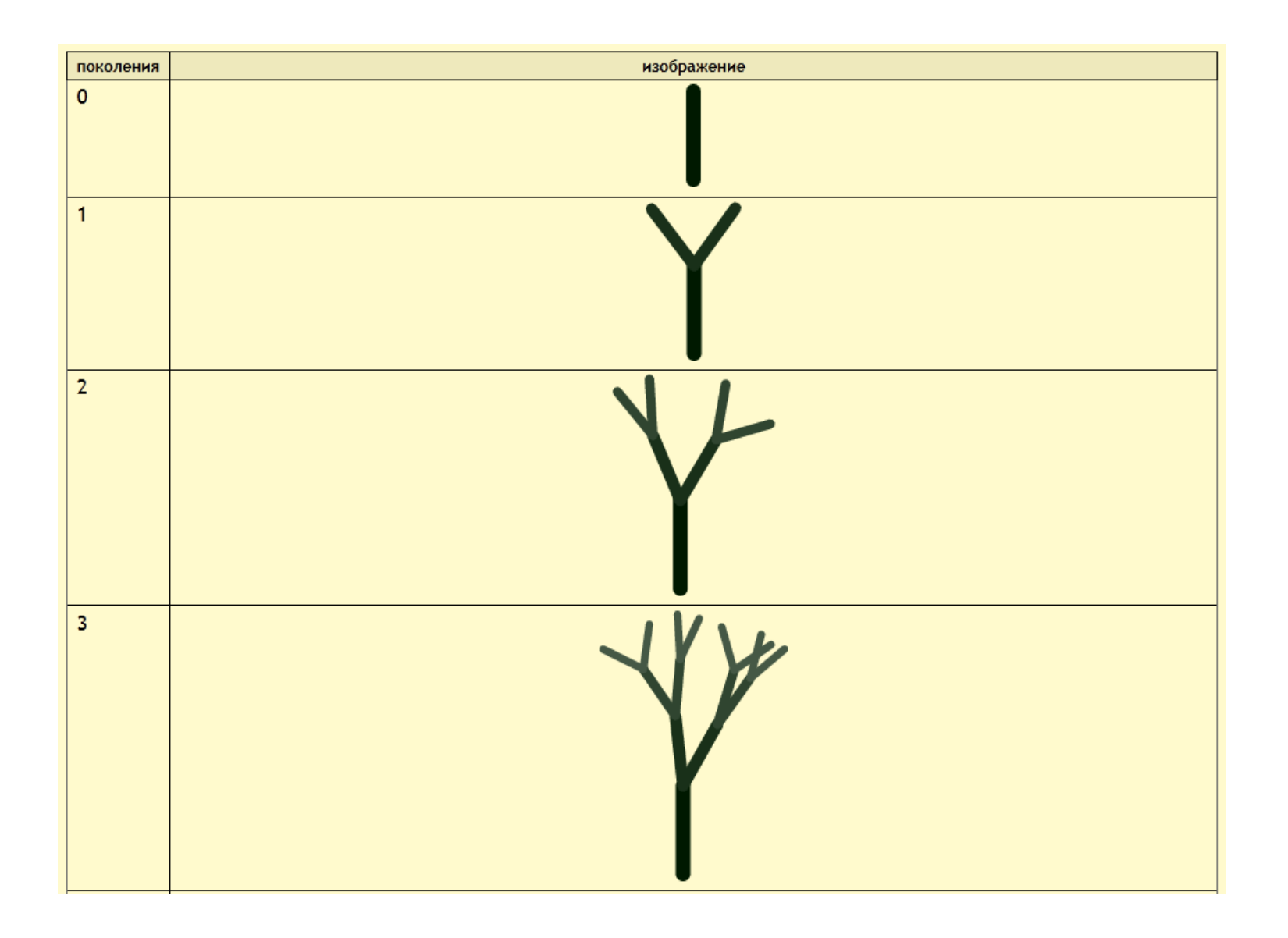
Пример построения дерева с помощью L — системы

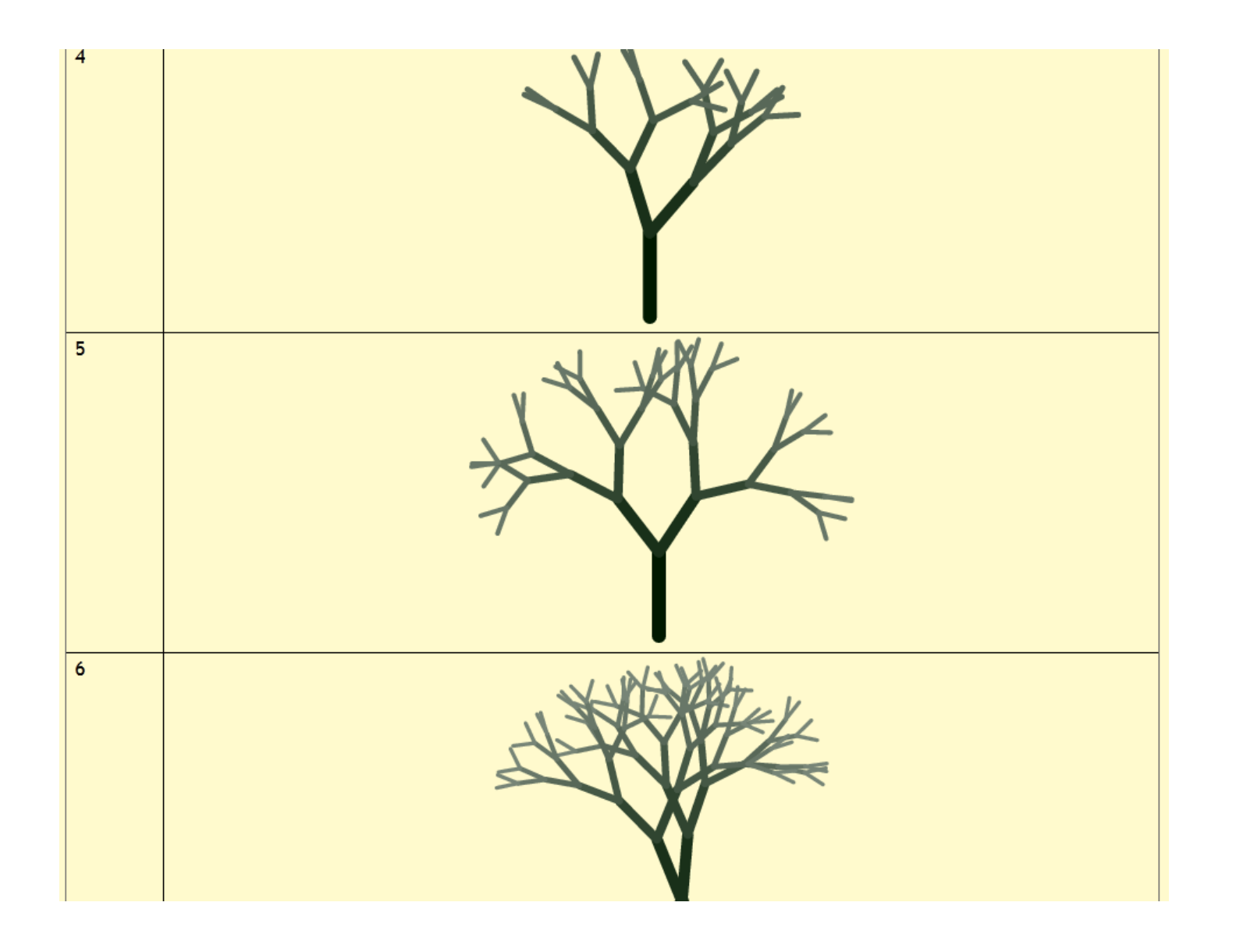


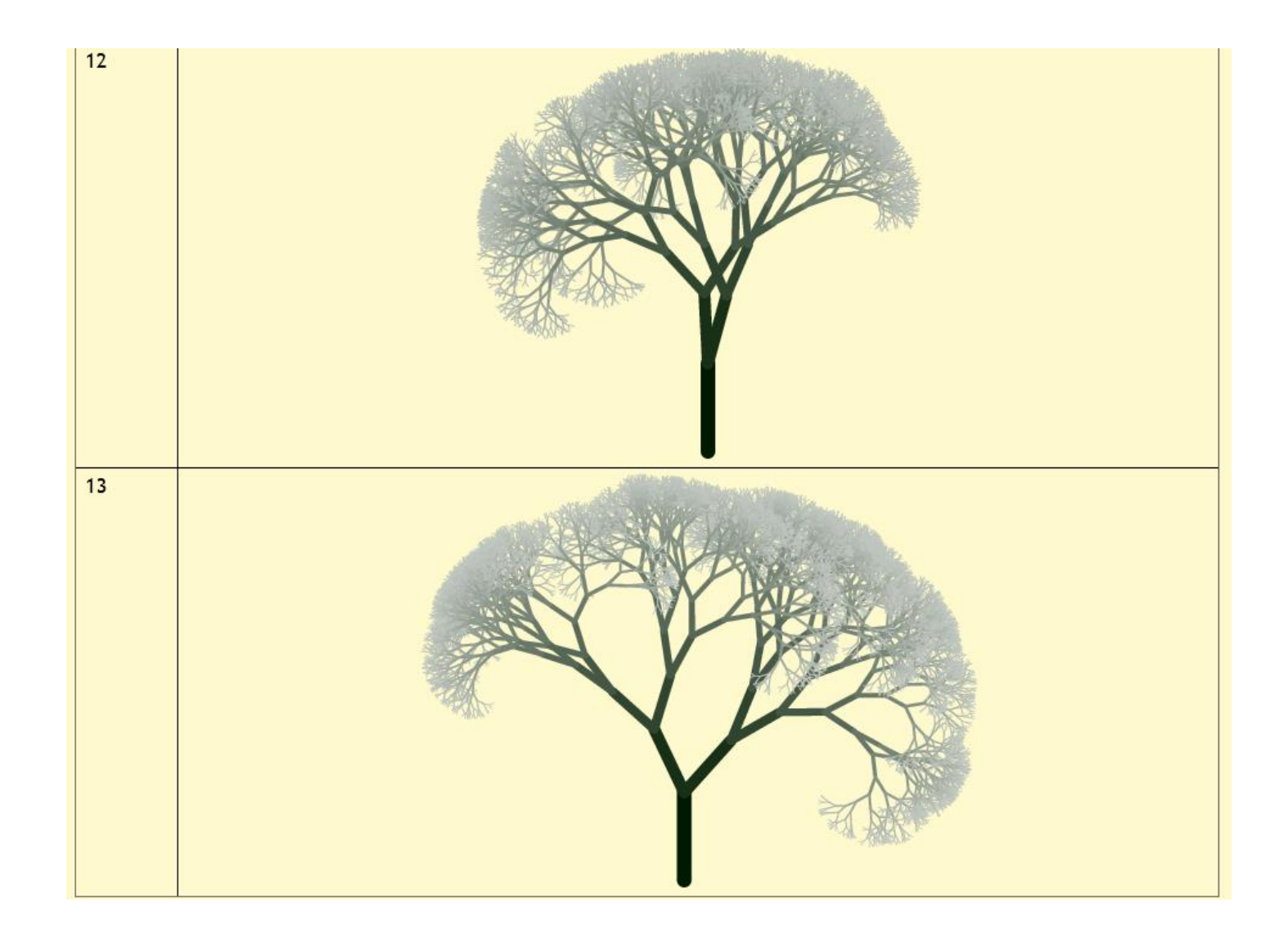


Добавим случайность в дерево

аксиома	правило	интерпретация		
LX1	'X,→'F[@[-X]+X],	$^{r}F_{J} \rightarrow \langle FORWARD 1 \rangle$		
		$^{\Gamma}X_{J} \rightarrow \langle FORWARD 1 \rangle$		
		r+,→< ROTATE RANDOM 45>		
		r \rightarrow < ROTATE -RANDOM 45>		
		$^{\Gamma}$ [$_{J} \rightarrow \langle SAVE \rangle$		
		r] $\rightarrow \langle RESTORE \rangle$		
		$_{L}$ 0^{-} \rightarrow $<$ \cdots $>$		





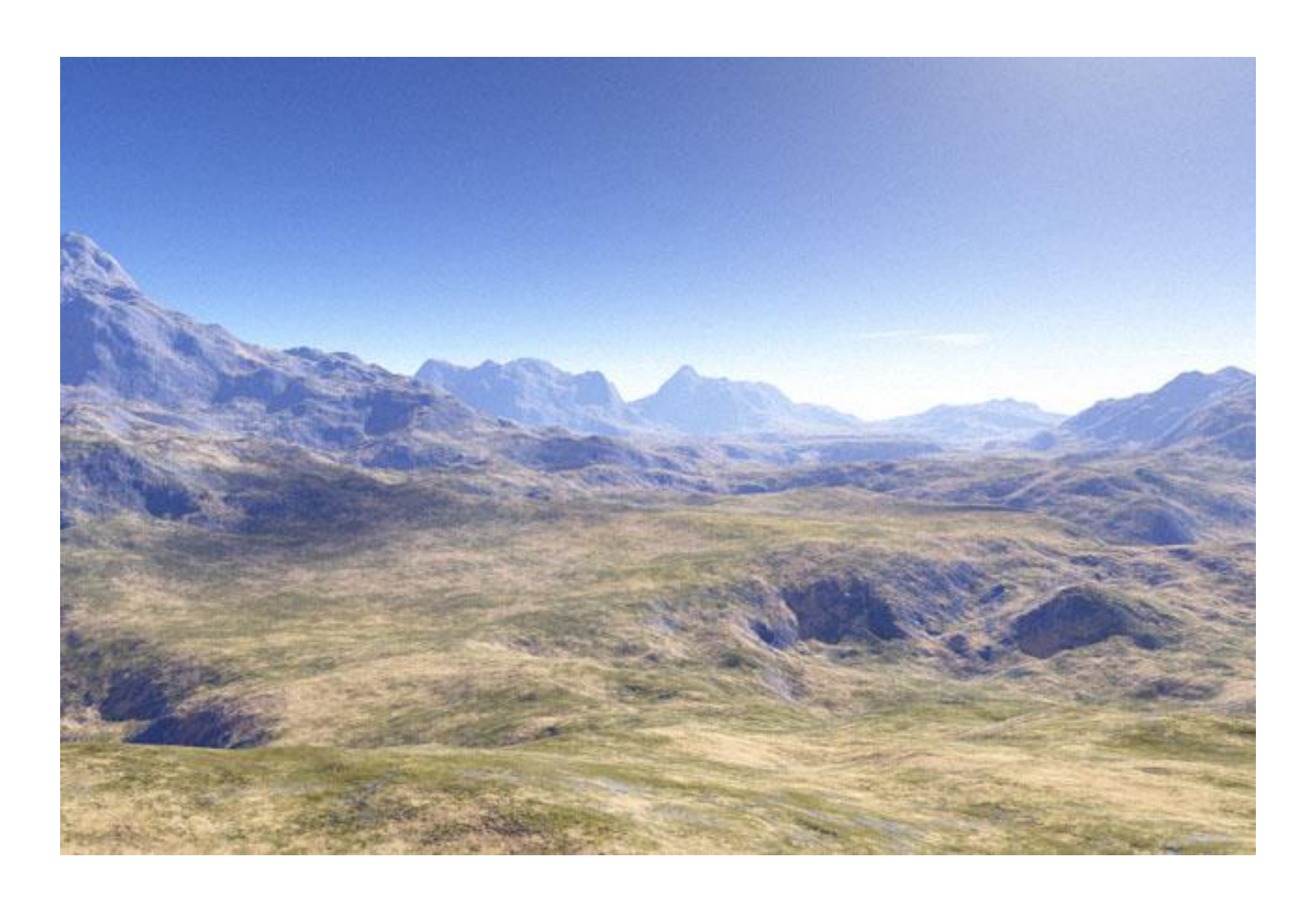


Фракталы в природе повсюду



Компьютерная графика ЮФУ Демяненко Я.М.

Сгенерированная компьютером фрактальная поверхность



И это тоже сгенерировано компьютером



Компьютерная графика ЮФУ Демяненко Я.М.

Фрактальная поверхность (Fractal landscape)

- Поверхность, сгенерированная с использованием стохастического алгоритма, предназначенного для создания фрактального объекта, который имитирует внешний вид природной местности.
- Иными словами, фрактальная поверхность появляется не в результате жестко заданной процедуры, а, является, скорее, случайным объектом, обладающим свойствами фрактала.

Википедия

Использование в киноиндустрии

- Первым использованием в киносъёмках пейзажа, сгенерированного компьютером, стал фильм 1982 года Звёздный путь 2: Гнев Хана.
- Американский исследователь компьютерной графики Лорен Карпентер использовал усовершенствованные методы Мандельброта для моделирования инопланетного ландшафта

Общий план действий

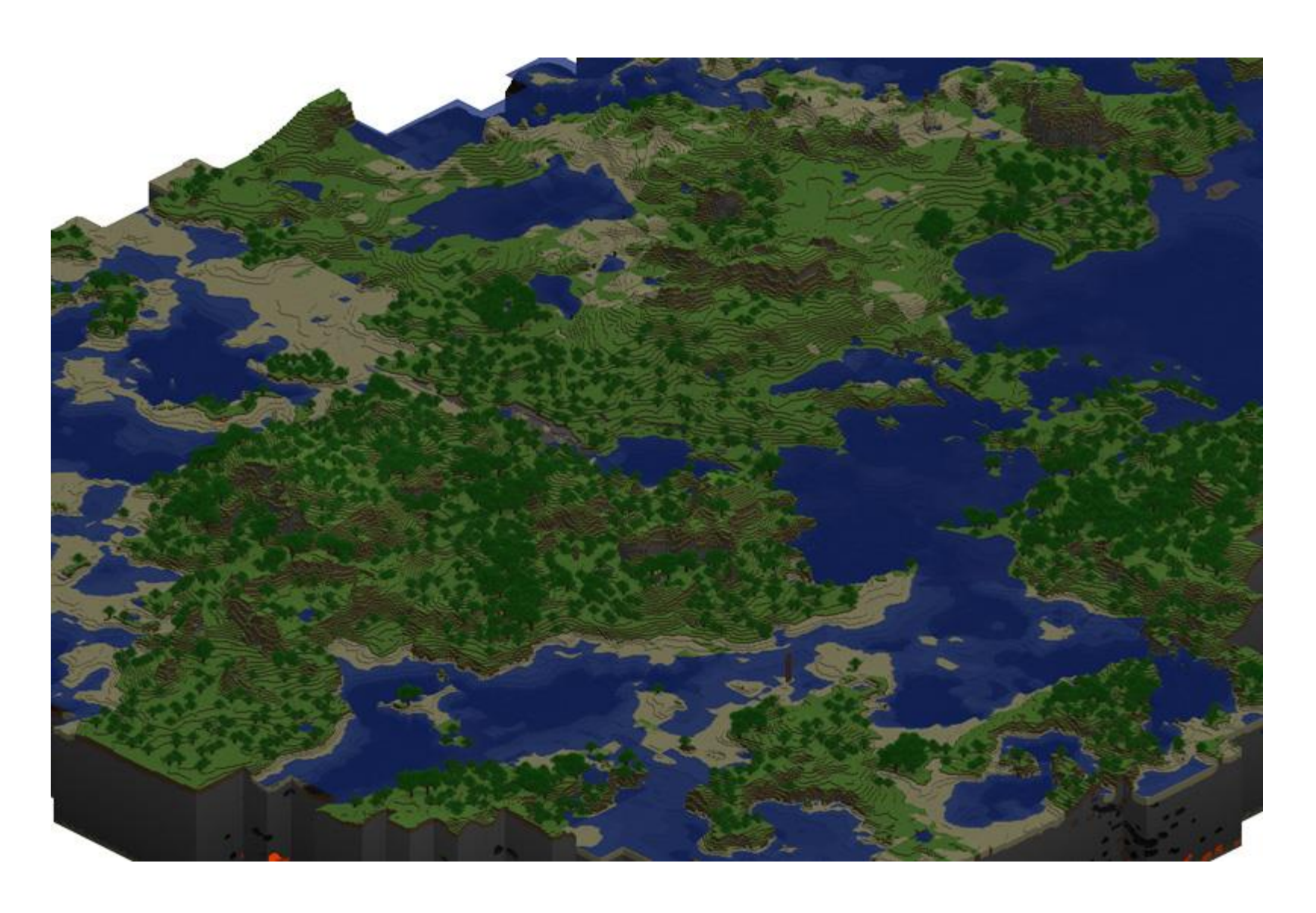
- Создание карты высот
- Распределение биомов
- Запуск водной эрозии
- Дополнительные действия

Уровень высоты	Влажность						
	6 (влажно)	5	4	3	2	(cyxo)	
4 (высоко)	CHEL			ТУНДРА	пустошь	СУХАЯ ЗЕМЛЯ	
3	ТАЙГА	КУСТА		АРНИКИ	УМЕРЕННАЯ ПУСТЫНЯ		
2	УМЕРЕННЫЙ ДОЖДЛИВЫЙ ЛЕС	УМЕРЕННЫЙ ЛИСТВЕННЫЙ ЛЕС		TPA8A		УМЕРЕННАЯ ПУСТЫНЯ	
(низко)	ТРОПИЧЕС ДОЖДЛИВЫЙ			ЧЕСКИЙ НЫЙ ЛЕС	TPABA	СУБТРОПИЧЕСКАЯ ПУСТЫНЯ	

Способы построения карты высот

- Заполнение карты высот случайным образом
- Создание холмов «вручную»
- Алгоритм diamond-square
- Ландшафт на базе диаграммы Вороного

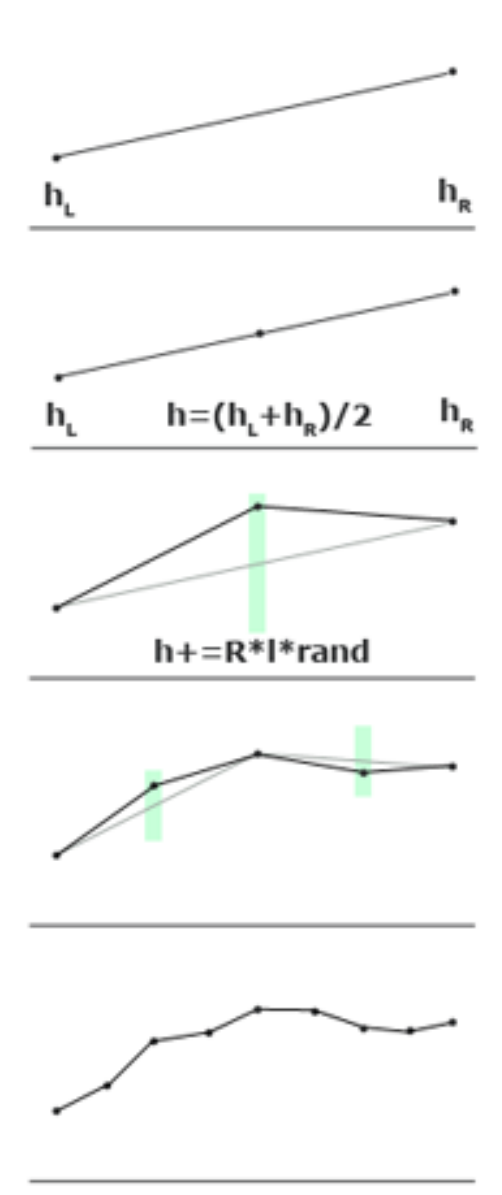
Ландшафт в Minecraft



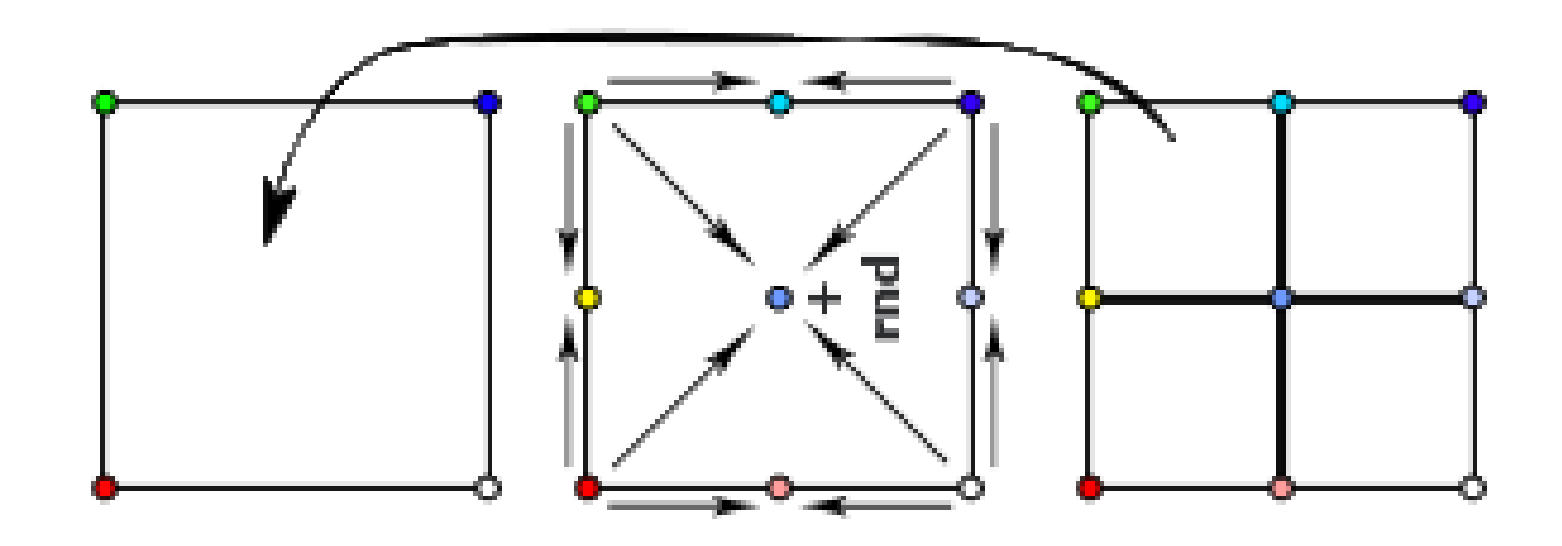
Алгоритм diamond-square (2D) или midpoint displacement



h = (hL + hR) / 2 + random(-R*L,R*L) (hL и hR — высоты на левом и правом конце отрезка, а константа R определяет «шероховатость» получающейся ломаной, L — длина разбиваемого отрезка



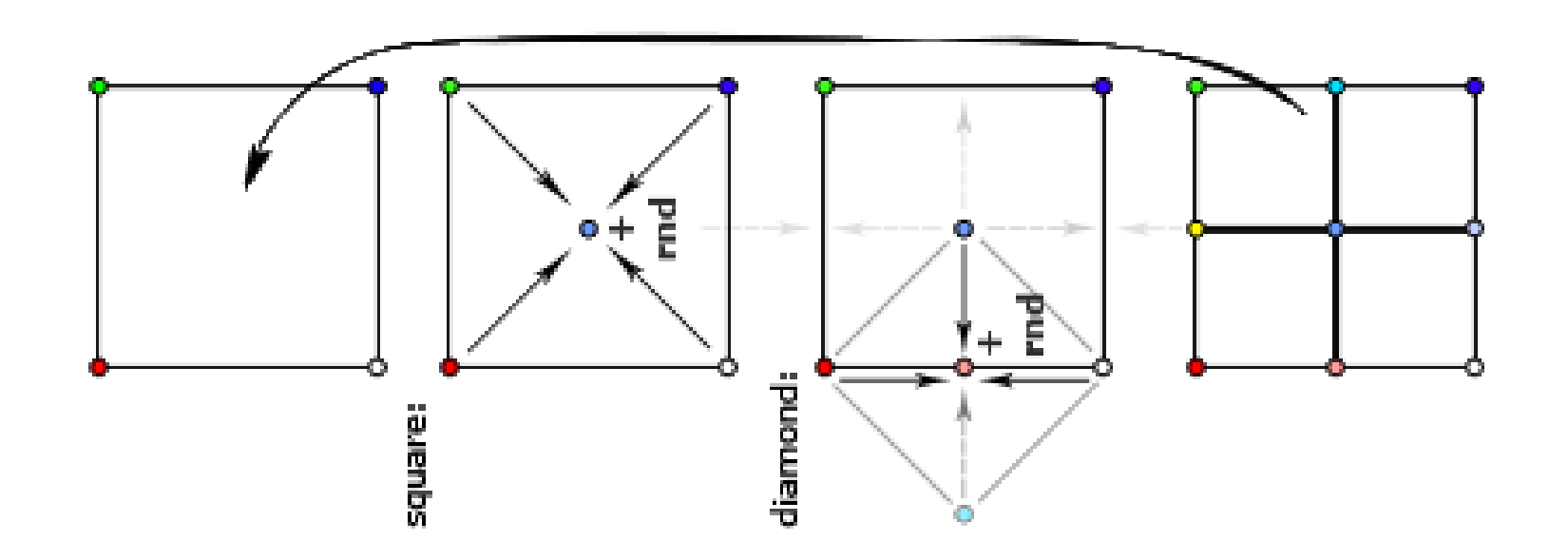
Алгоритм midpoint displacement



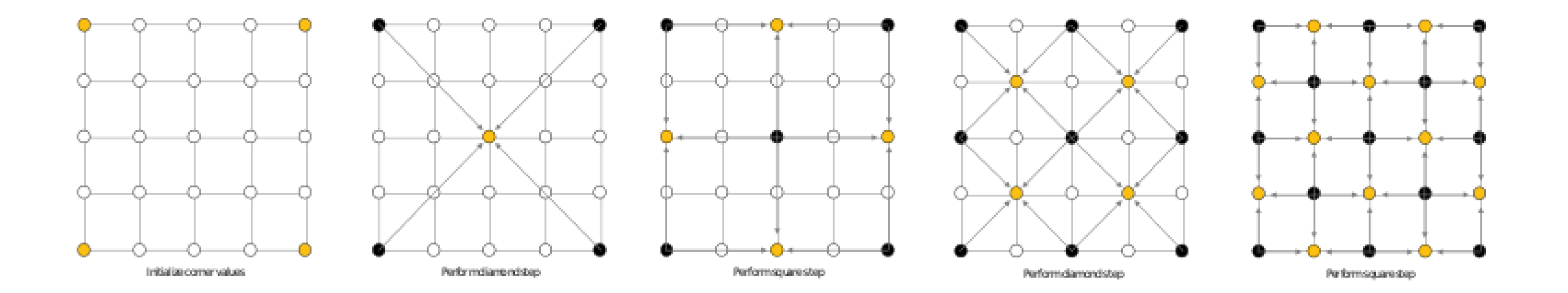
Недостатки алгоритма midpoint displacement

- Идея была впервые представлена Фурнье, Фусселлом и Карпентером на SIGGRAPH 1982.
- Позднее он был проанализирован Гавином С. П. Миллером в SIGGRAPH 1986, который описал его как ошибочный алгоритм производит заметные вертикальные и горизонтальные «складки» из-за значительных возмущений, происходящих в прямоугольной сетке.

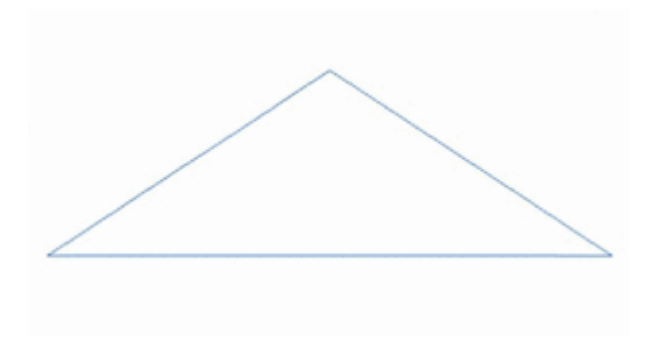
Алгоритм diamond-square



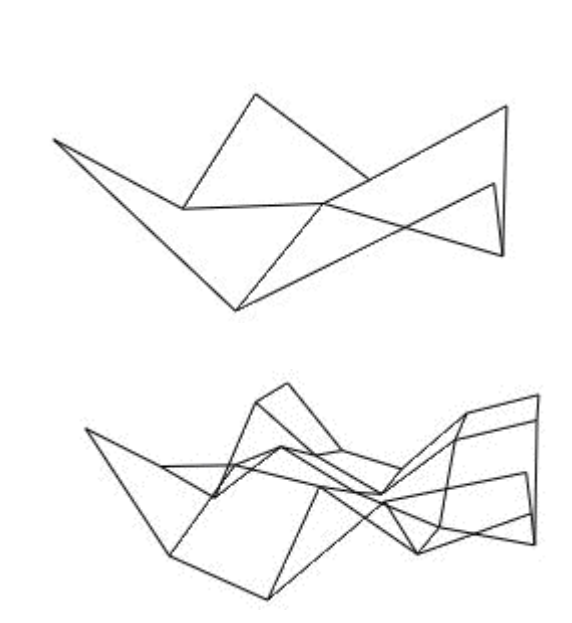
Алгоритм diamond-square (3D)



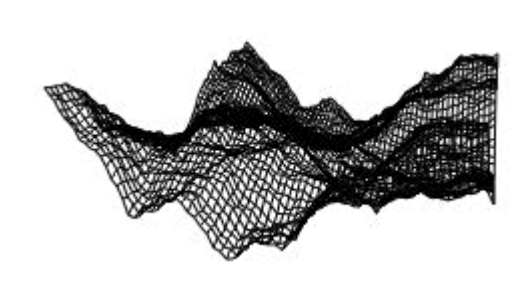
Модификация алгоритма



Алгоритм diamond-square (3D)

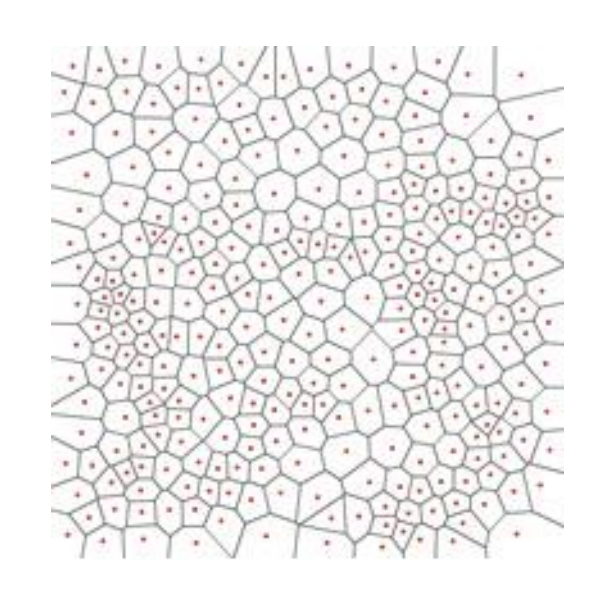






Terragen

Ландшафт на базе диаграммы Вороного





Главное свойство сетки— это её нерегулярность. Ландшафт не выглядит слишком «квадратным».

Ландшафт на базе диаграммы Вороного

- •Случайное бросание точек на карту.
- •Затем по этим точкам строится диаграмма Вороного и/или триангуляция Делоне.
- •На ней выполняется несколько итераций релаксации Ллойда, чтобы избавиться от слишком мелких полигонов.

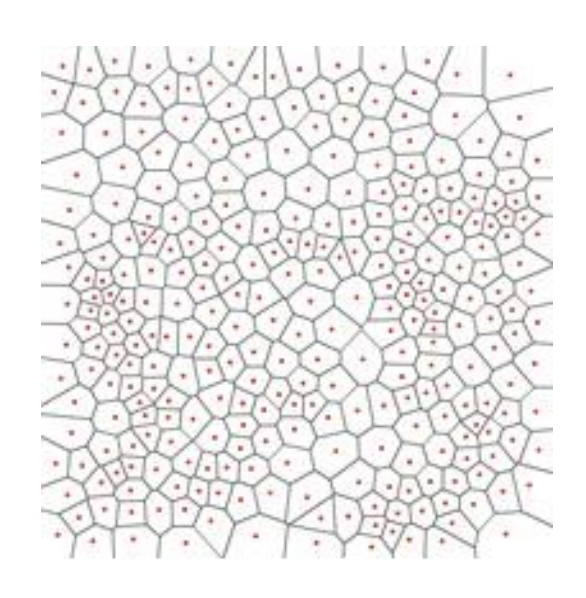


Диаграмма Вороного



Георгій Феодосійович Вороний; 1868 — 1908

Названа в честь российского учёного Георгия Феодосьевича Вороного.

Также известна как:

мозаика Вороного, разбиение Вороного, разбиение Дирихле

Диаграмма Вороного

• Диаграмма Вороного конечного множества точек S на плоскости представляет такое разбиение плоскости, при котором каждая область этого разбиения образует множество точек, более близких к одному из элементов множества S, чем к любому другому элементу множества

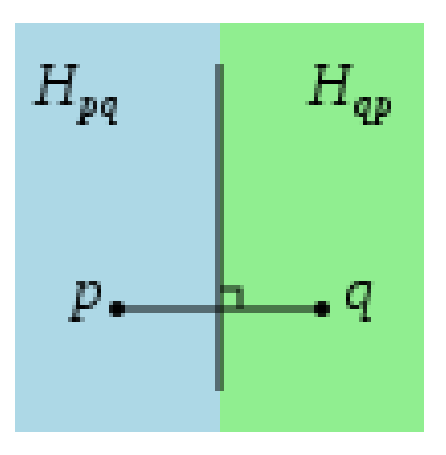


Диаграмма Вороного и триангуляция Делоне

